

川崎重工業 正員
同上 正員
板井謙一
○追田治行

1. まえがき 液体タンクの地震に対する安全性の検討は、地震を静的な荷重に置換して解析する方法が一般に用いられてきた。このような地震の静的な荷重への置換方法として G.W. Housner⁽¹⁾、山本・清水⁽²⁾などの方法があるが、これらはいずれもタンク壁は剛体であるとして動液圧を求めている。しかししながら近年の大型タンク建設の増加に伴なって、地震力の推定の際 タンク壁の変形を考慮する、とも検討する必要があると考えられる。タンク壁の変形を考慮した振動解析については、今日迄のところ多くの研究報告がなされていると言えない⁽³⁾。本報告では タンクを 弾性ジャル-液体連成振動系として 有限要素法を用いて解析した結果について述べる。

2. 解析方法 解析の対象は 図-1 に示す液体貯蔵用の円筒形タンクであり、これを F.E.M. により解析する。タンク壁は軸対称回転薄肉シエルと考え 四節点リング要素に分割した。シエルの運動方程式は 文献(4)(5) などに述べられているのと同様のものである。液体に関しては 図-1 に示す様な内節点板要素を用い、鉛直方向の要素分割はシエルの要素分割と一致する様にした。液を非粘性、非圧縮性の滑り流れと仮定すると、水平振動に対して液体の運動に與する基礎微分方程式は 次式で与えられる。

$$\nabla^2 \varphi = 0 \quad (\text{in } V), \quad \frac{\partial \varphi}{\partial r} |_{z=0} = 0 \quad (\text{on } S_3), \quad -\frac{\partial \varphi}{\partial r} |_{r=a} = \frac{\partial u}{\partial t} \quad (\text{on } S_2) \\ \frac{\partial \varphi}{\partial z} + \frac{1}{8} \frac{\partial^2 \varphi}{\partial z^2} |_{z=H} = 0 \quad (\text{on } S_1) \quad (u: \text{速度ポテンシャル}, H: \text{タンク壁半径方向変位})$$

上式に対応する汎函数 $I(\varphi)$ を次式のように定義する。

$$I(\varphi) = \frac{P}{2} \int_V \left\{ \left(\frac{\partial \varphi}{\partial r} \right)^2 + \left(\frac{\partial \varphi}{\partial z} \right)^2 + \frac{1}{8} \left(\frac{\partial^2 \varphi}{\partial z^2} \right)^2 \right\} dV + P \int_{S_1} \frac{1}{8} \frac{\partial^2 \varphi}{\partial z^2} \varphi r dz da + P \int_{S_2} \frac{\partial u}{\partial t} \varphi r dz da$$

速度ポテンシャル φ を次のようく 円周方向に Fourier 級数表示する。

$$\varphi(r, \theta, z) = \sum_n \varphi_n(r, z) \cos(n\theta)$$

更に $\varphi_n(r, z)$ を要素内で 座標 r, z の多項式で近似する。中と汎函数 $I(\varphi)$ に代入し、 $\delta I(\varphi) = 0$ なる変分原理を適用すると 液体の運動方程式が得られる。タンク壁は液体から動液圧を受けていることを考慮し、ジャルと液体の運動方程式を結合すると最終的に次の運動方程式を得る。

$$\sum_n \{ M_n \ddot{d}_n(t) + K_n d_n(t) \} = P_n(t) \quad (n: \text{Fourier の次数})$$

この場合 $d_n(t)$ は ジャルの変位と 液体の自由表面上での速度ポテンシャル φ の波高から成る列ベクトルである。上式をモーダルアリス法を用いて応答解析する。

3. 計算例 図-2 は 60000m³ LNG タンク(2重殻)の内槽の断面図である。

タンク壁は JIS A5083 (AL) であり、内容液は LNG (比重 0.47) である。解析には板厚公差を考慮した板厚を用いた。水平地震動と関連する Fourier 次数 $n=1$ の場合についての系の固有振動周期および固有振動形の一例を表-1 および図-3 に示す。表-1 には 参考値として ジャルの外(空の状態) およびタンク壁と剛体と仮定したときの液体運動の外の固有振動周期も合わせて示す。この種のタンクの固有振動の代表的なものとして、主として液面上下動を支配する スロッシングと、主にタンク壁体の振動を支配する バルジングとがあるが、タンク

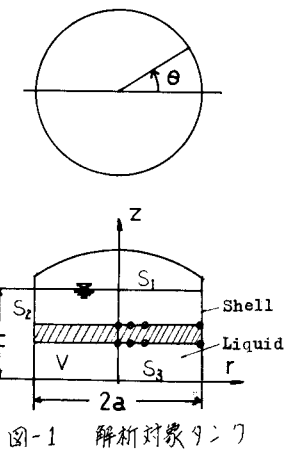


図-1 解析対象タンク

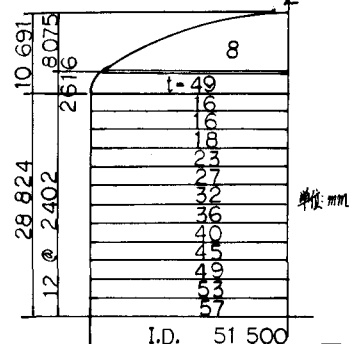


図-2 計算モデル

壁の変形を考慮しても、スロッシングの固有振動周期は剛体容器内の液体運動のそれと大差ないことがわかる。

バルジングはタンク壁の変形を考慮することによって抽出できる固有振動波形であり、この場合 0.7sec というかなり長いオーナー次固有振動周期を有する。バルジングの固有周期は、

タンク壁体の剛性が大きくならる程、また液頭高が小さくなる程、短くなる。以上示した固有振動に関する特性は、この計算例の外ならず、他の種々の計算結果からも認めることができた。

地震応答解析の一例として、図-1に示したタンクの基礎に TAFT S-67-E (U.S.A., 1952) 地震波⁽⁶⁾を与え、その、応答解の一部を図-4、図-5に示す。図-4は地震方向側壁上での液面上下動の、図-5は地震方向側壁(角度 22.819°)における変位(u, v, w)⁽⁵⁾の時刻歴応答図である。後者には、静液圧、加速度、および自重など静的荷重による変形も含まれている。タンク壁の変形がどの程度影響するかと調べる為に、最大水平力および最大液面高さについて F.E.M. と Housner の方法による結果とを比較すると表-2 のようになる。

表-2 最大水平力 および 最大液高

	最大水平力 (t)	最大液高 (m)
Housner	2928	37
F.E.M.	7661	66

F.E.M. の最大水平力にはタンク壁体の慣性力を含まれているが、タンク壁体の質量は小さいので、水平力の大部は動液圧と教えて良い。

F.E.M. 解はタンク壁を剛体とした Housner の方法による結果より、かなり大きな値を示し、タンク壁の変形の影響が相当あることが判った。この傾向は他の地震波に対するても認められた。

4 まとめ

- (1) スロッシングの固有振動周期は、タンク壁の変形を考慮しても、タンク壁を剛体と仮定した時のそれと大差ない。
- (2) 大型タンクでは、バルジングの固有振動周期はかなり長く、通常の地震波の卓越周期範囲に入ることもある。また、バルジングの固有周期は、液頭高が大きい程、およびタンク剛度が小さい程長くなる。
- (3) 大型タンクでは、タンク壁の変形の影響を考慮すると、剛体容器と考え方の場合より動液圧等は大きくなる傾向にある。

以上、数少ない計算結果から得られた大型液体タンクの振動特性について述べたが、今後種々のタンクに対する F.E.M. の適用および模型実験を通して、より詳細な検討を行ない、その振動特性を確認する予定である。

参考文献

- (1) 吉爾 Housner "Dynamic Analysis of Fluids in Containers Subjected to Acceleration"
- (2) 山本・清水「地震波の長期成分が剛体構造物に及ぼす影響」建築技術 1979.6
- (3) 東京地盤調査部「液槽の弹性係数の固有振動解析に対する考察」JSSC 第四研究会会議録
- (4) JSSC 编「江川構造解析」コンピュータ構造工事清書
- (5) 鈴木道田「有限要素法と用いた回転殻の振動解析」土壤松材第9回年次構造清波会講演集
- (6) 本州四国連絡橋技術報告書付属資料 2 S42.7

表-1 固有振動周期 (単位: sec)

Mode No.	Shell - Liquid		壁のタンク	剛体容器
	Sloshing Mode	Bulging Mode		
1 st	7.64	0.40	0.071	7.63
2 nd	4.41	0.22	0.058	4.41
3 rd	3.48	0.16	0.056	3.49

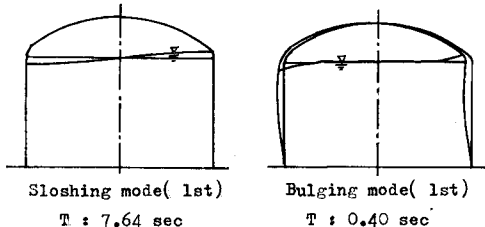


図-3 固有振動波形の一例

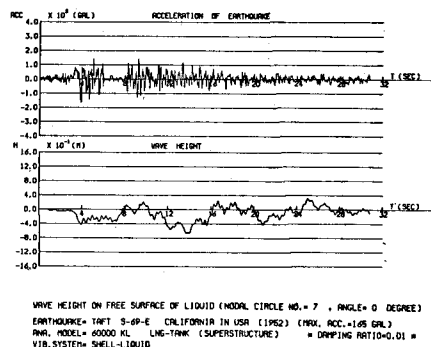


図-4 液面波高

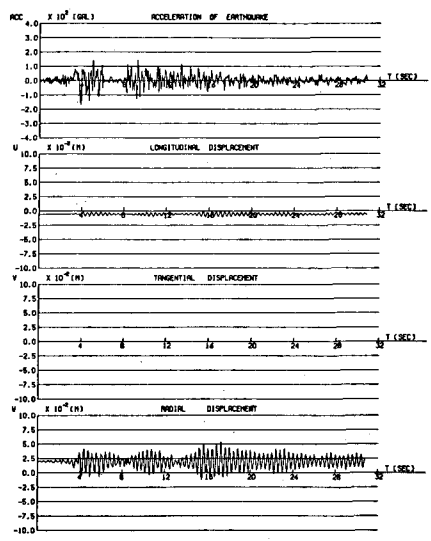


図-5 タンク側壁変位